

近似形状と関数展開を用いた食品形状のモデリング

Modeling of Food Shapes via Approximated Shapes and Functional Expansions

西田 賢生 (立命大) 正 王 忠奎 (立命大) ○正 平井 慎一 (立命大)

Kensyo Nishida, Ritsumeikan Univ., Zhongkui Wang, Ritsumeikan Univ.

Shinichi Hirai, Ritsumeikan Univ., hirai@se.ritsumei.ac.jp

This manuscript focuses on modeling of two-dimensional food shapes. Foods have much variation in their shapes. This paper presents a method to describe two-dimensional food shapes with variations based on approximated shapes and functional expansions.

Key Words: food, shape, modeling, variation

1 緒言

食品のマニピュレーションを実現するためには、食品形状のモデリングが必要である。食品の形状は多様であり、同じ食品における個体差が大きい。したがって、様々な形状に対応することが可能で、個体差を表現することができるモデリング手法が望まれる。それぞれの食品、たとえばエビフライやドーナツにおいては、概形を想定することができる。また、食品の表面形状は複雑である一方、それぞれの食品に特徴的である。たとえば、フライの表面形状と唐揚げの表面形状は異なる。したがって、食品の形状は、全体的な概形と表面形状を用いて表すことが可能であると考える。これまでに、形状を近似形状と残差で表す手法を提案した [1]。本報告では、概形を表す近似形状と表面形状を表す関数展開を用いて、ばらつきを有する食品形状を表現する手法を提案する。近似形状と表面形状を有限個のパラメータで表し、パラメータの分布で形状のばらつきを表す。本報告では、二次元形状を対象とする。

2 二次元形状の計測

食品の形状はばらつきを有する。本報告では冷凍フライを対象とする。図 1 にフライを上から撮影した結果を示す。画像の中心に座標原点 O を置き、水平方向に x 軸、鉛直方向に y 軸を取る。食品と背景が分離できるように、背景の色を選ぶ。二値化により食品と背景を分離し、食品の二次元形状を得る。

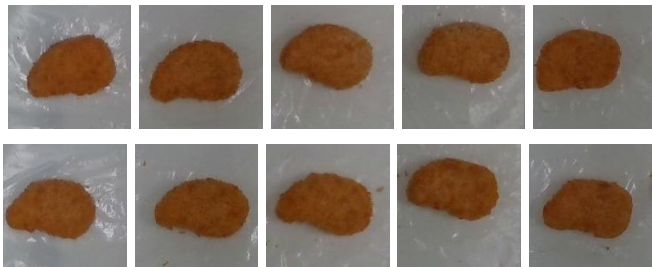


Fig.1 Photos of fries

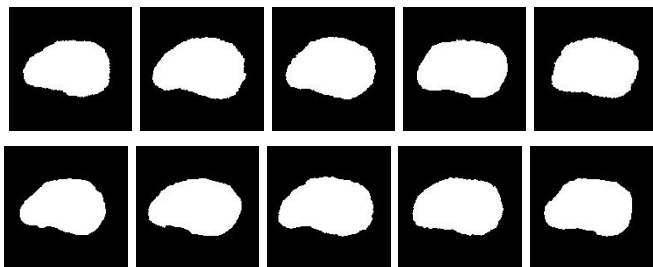


Fig.2 Extracted shapes of fries

二次元形状の位置と姿勢の影響を除去するために、二値画像の 0 次モーメント、1 次モーメント、2 次モーメントを計算する。二値画像のモーメントから、画像重心 $[x_o, y_o]^T$ 、長軸と x 軸が成す角 θ_o を求める。画像を $-[x_o, y_o]^T$ 平行移動させ、さらに原点周りに $-\theta_o$ 回転させる。このとき、食品形状の画像重心は座標原点に一致し、楕円の長軸の方向は x 軸に一致する。図 2 にフライの形状を求めた結果を示す。

3 近似形状

食品の概形を表す近似形状は、それぞれの食品に関して定める必要がある。フライにおいては近似形状を楕円とする。フライの二次元形状を表すために、極座標系 $O-r\theta$ を導入する。二次元形状の輪郭を求め、輪郭点を極座標で表す。輪郭を関数 $r_{\text{measured}}(\theta)$ で表す。二値画像のモーメントから得た楕円の長軸の長さを $2a$ 、短軸の長さを $2b$ で表す。この楕円を極座標で表すと、関数

$$r_{\text{ellipse}}(\theta) = \left\{ \frac{\cos^2 \theta}{a^2} + \frac{\sin^2 \theta}{b^2} \right\}^{-1/2} \quad (1)$$

を得る。このとき、二次元形状と楕円の差は

$$d_0(\theta) = r_{\text{measured}}(\theta) - r_{\text{ellipse}}(\theta) \quad (2)$$

と表される。ただし、差 $d_0(\theta)$ の平均は 0 とは限らない。表面形状を表す関数は、平均が 0 であることが望ましい。そこで、差の平均が 0 となるように、楕円を拡大/縮小する。楕円の拡大率を α で表す。二次元形状と拡大/縮小した楕円の差の平均が 0 であるためには

$$\int_0^{2\pi} \{r_{\text{measured}}(\theta) - \alpha r_{\text{ellipse}}(\theta)\} d\theta = 0 \quad (3)$$

が成り立たなくてはならない。これより拡大率

$$\alpha = \frac{\int_0^{2\pi} r_{\text{measured}}(\theta) d\theta}{\int_0^{2\pi} r_{\text{ellipse}}(\theta) d\theta} \quad (4)$$

を得る。したがって、近似楕円は $\alpha r_{\text{ellipse}}(\theta)$ で与えられる。

結局、二次元形状と近似楕円の差は

$$d(\theta) = r_{\text{measured}}(\theta) - \alpha r_{\text{ellipse}}(\theta) \quad (5)$$

と表される。関数 $d(\theta)$ の平均は 0 である。近似楕円の長軸の長さは $2\alpha a$ 、短軸の長さは $2\alpha b$ である。

4 関数展開

表面形状を表す関数 $d(\theta)$ を有限個のパラメータで表すために、関数 $d(\theta)$ の関数展開を求める。関数 $d(\theta)$ は周期 2π の周期関数であるので、本報告ではフーリエ級数を用いる。関数 $d(\theta)$ の平

Table 1 Computed shape parameters of fries

	$2\alpha a$	$2\alpha b$	a_1	b_1	a_2	b_2
#01	29.1	18.2	0.558	-0.266	-1.92	0.844
#02	30.7	19.6	0.874	-0.413	-1.88	1.56
#03	29.8	19.8	-1.22	1.31	-0.639	0.208
#04	30.2	18.3	-1.15	0.879	-0.682	-0.351
#05	29.0	19.6	-0.554	1.29	-0.445	-0.272
#06	28.2	18.2	0.556	-0.347	-1.78	1.41
#07	30.1	18.0	0.0341	0.778	1.79	-0.748
#08	30.9	18.5	-1.32	1.61	-1.16	0.527
#09	30.1	18.6	0.546	-0.271	-1.24	1.03
#10	29.5	18.5	0.543	-0.201	-1.14	1.74

均とは0であるので、フーリエ級数の定数項 a_0 の値は0である。したがって、関数 $d(\theta)$ のフーリエ級数は

$$d(\theta) = \sum_k \{a_k \cos k\theta + b_k \sin k\theta\} \quad (6)$$

となる。たとえば、2周期までの項を用いると

$$d(\theta) = a_1 \cos \theta + b_1 \sin \theta + a_2 \cos 2\theta + b_2 \sin 2\theta \quad (7)$$

となり、関数 $d(\theta)$ を4個のパラメータ a_1, b_1, a_2, b_2 で近似することができる。このとき、形状を表すパラメータはまとめて、 $\mathbf{p} = [2\alpha a, 2\alpha b, a_1, b_1, a_2, b_2]^T$ となる。

図2に示すフライの形状に対して、形状パラメータを計算した結果を表1に示す。得られた形状パラメータもとに形状を求めた結果を図4に示す。単位はすべてmmである。異なる形状が得られており、形状のパラッキを表すことはできた。一方、元の形状(図2)とは、凹凸の場所が異なっている。特に、凹んでいる部分が表現されていない。図3に、元の形状における輪郭の極座標表現、求めた形状における輪郭の極座標表現を示す。凹凸の大きい箇所、違いが大きくなっていることがわかる。これはフーリエ級数の項数が少ないためである。少ないパラメータで形状を再現するためには、フーリエ級数の項数を増やしてフーリエ係数を計算し、主成分分析を用いてパラメータの個数を圧縮する手法が有効であると考えられる。また、フーリエ級数以外の関数展開を用いる手法も考えられる。

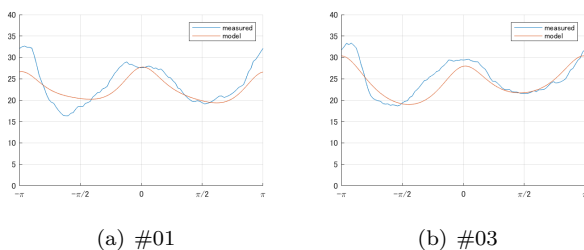


Fig.3 Calculated contour functions

6個の形状パラメータ $\mathbf{p} = [2\alpha a, 2\alpha b, a_1, b_1, a_2, b_2]^T$ の相関係数を計算すると

$$\begin{bmatrix} 1.00 & 0.146 & -0.304 & 0.299 & 0.171 & -0.144 \\ 0.146 & 1.00 & -0.209 & 0.263 & -0.171 & 0.0414 \\ -0.304 & -0.209 & 1.00 & -0.934 & -0.313 & 0.650 \\ 0.299 & 0.263 & -0.934 & 1.00 & 0.501 & -0.744 \\ 0.171 & -0.171 & -0.313 & 0.501 & 1.00 & -0.785 \\ -0.144 & 0.0414 & 0.650 & -0.744 & -0.785 & 1.00 \end{bmatrix}$$

を得る。長軸の長さ $2\alpha a$ と短軸の長さ $2\alpha b$ の相互相関係数は、(1,2)要素であり、その値は0.146である。したがって、近似楕円

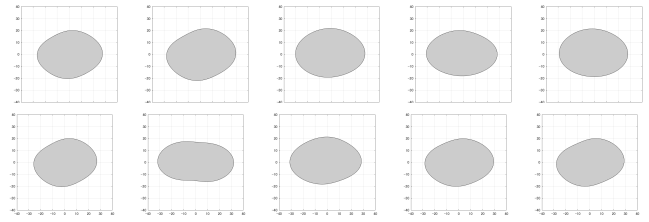


Fig.4 Calculated shapes

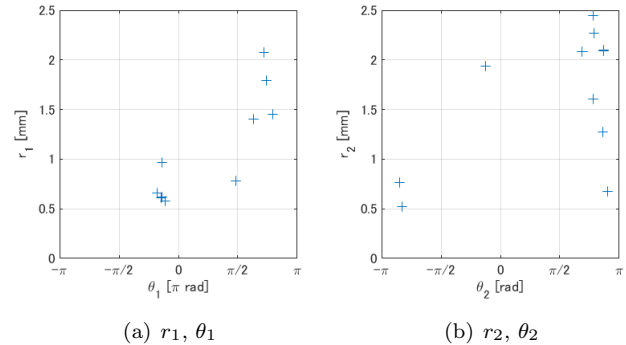


Fig.5 Relationships between Fourier coefficients

の長軸の長さや近似楕円の短軸の長さは、ほとんど関連がないことがわかる。また、 a_1 と b_1 の相関係数 ((3,4)要素) の値は -0.934 、 a_2 と b_2 の相関係数 ((5,6)要素) の値は -0.785 であり、絶対値が大きい。係数 a_1 と b_1 の関係を調べるために、 $r_1 = (a_1^2 + b_1^2)^{1/2}$ と $\theta_1 = \text{atan2}(b_1, a_1)$ を計算し、 r_1 と θ_1 の対をプロットした結果を図5(a)に示す。角度 θ_1 の特定の値、すなわち 0.74π と -0.14π 付近に対応する r_1 の値が多いことがわかる。同様に、係数 a_2 と b_2 に対して、 $r_2 = (a_2^2 + b_2^2)^{1/2}$ と $\theta_2 = \text{atan2}(b_2, a_2)$ を計算し、 r_2 と θ_2 の対をプロットした結果を図5(b)に示す。角度 θ_2 の特定の値、すなわち 0.85π 付近に対応する r_1 の値が多いことがわかる。ただし、これらの結果がフライの形状の特徴を表しているのか、あるいはフーリエ級数の項数が少ないことによるアーティファクトであるかを検証する必要がある。

5 結言

本報告では、概形を表す近似形状と表面形状を表す関数展開を用いて、ばらつきを有する食品形状を表現する手法を提案した。近似形状として楕円、関数展開としてフーリエ級数を選び、冷凍フライの二次元形状を対象として形状パラメータを求めた。本報告の手法により、それぞれのフライに対して異なる形状パラメータが得られた。しかしながら、元の形状とは異なる部分が多く、特に凹んでいる部分が表現されていないという短所がわかった。今後は、フーリエ級数の項数を増やしてフーリエ係数を計算し、主成分分析を用いてパラメータの個数を圧縮する手法を試みる。また、輪郭を極座標に関する関数で表すことができない形状に対しては、高次の座標変換を適用することを試みる。

謝辞

本研究は、内閣府が進める「戦略的イノベーション創造プログラム (SIP) 第2期/フィジカル空間デジタルデータ処理基盤」(管理法人: NEDO) による支援を受けた。

参考文献

- [1] 西田 賢生, 平井 慎一, 王 忠奎, ばらつきを考慮した食品形状のモデリング, 第39回日本ロボット学会学術講演会 (RSJ2021), オンライン, Sept. 8-11, 2021